

# ANALYSE NUMÉRIQUE SV

## INTÉGRATION NUMÉRIQUE

Simone Deparis

EPFL Lausanne – MATH

Printemps 2021

The EPFL logo is displayed in a large, bold, red sans-serif font. The letters are slightly slanted to the right. The logo consists of the letters 'EPFL' stacked vertically, with a small 'E' preceding the 'PFL'.

## EXEMPLES ET MOTIVATIONS

L'intégration est un des problèmes les plus importants que l'on rencontre en analyse. Souvent le calcul des intégrales par des méthodes analytiques s'avère très compliqué, voire impossible, car il n'existe pas d'expression analytique de la primitive de la fonction à intégrer. Voici quelques exemples :

$$\int_0^1 e^{-x^2} dx, \quad \int_0^{\pi/2} \sqrt{1 + \cos^2 x} dx, \quad \int_0^1 \cos x^2 dx.$$

Dans ces cas, on peut appliquer des méthodes numériques pour évaluer la valeur de l'intégrale donnée.

## QUELQUES PROPRIÉTÉS DE L'INTÉGRALE

Soient  $f, g : [a, b] \rightarrow \mathbb{R}$  et  $\lambda \in \mathbb{R}$

$$\int_a^b f(x) + \lambda g(x) dx = \int_a^b f(x) dx + \lambda \int_a^b g(x) dx \quad (\text{linéarité}) \quad (1)$$

$$\int_a^b f(x)dx = \int_{-1}^1 f\left(\frac{a+b}{2} + t\frac{b-a}{2}\right) \frac{b-a}{2} dt \quad (\text{changement de variable}) \quad (2)$$

$$\int_a^b f(x)dx = \int_{x_0}^{x_1} f(x)dx + \dots + \int_{x_{N-1}}^{x_N} f(x)dx \text{ avec } a = x_0 < \dots < x_N = b \quad (3)$$

Comment utiliser ces propriétés pour définir une stratégie pour l'approximation d'un intégrale ?

- ① Grâce à (2) on définit d'abord une stratégie pour l'approximation d'un intégrale sur l'intervalle  $[-1, 1]$ .
  - ② L'équation (3) permet de définir des formules composites.
  - ③ La propriété (1) permet d'exploiter l'algèbre linéaire.

# FORMULE DE QUADRATURE SUR $[-1, 1]$

On cherche à approximer l'intégrale  $\int_{-1}^1 g(t)dt$  d'une fonction continue.

Rappel : **Base de Lagrange** :

- $n + 1$  noeuds  $-1 \leq t_0 \leq t_1 \leq \dots \leq t_n \leq 1$ .
- $n + 1$  fonctions de base associées  $\{\varphi_0, \dots, \varphi_n\}$



FORMULE DE QUADRATURE SUR  $[-1, 1]$

## DEGRÉ D'EXACTITUDE I

## DEGRÉ D'EXACTITUDE II

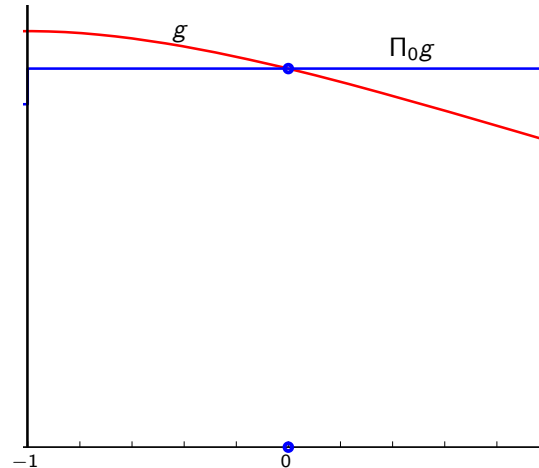


FORMULE DE QUADRATURE COMPOSITE SUR  $[a, b]$  I

FORMULE DE QUADRATURE COMPOSITE SUR  $[a, b]$  II

## FORMULE DU POINT MILIEU

$$J^{pm}(g) = 2g(0)$$



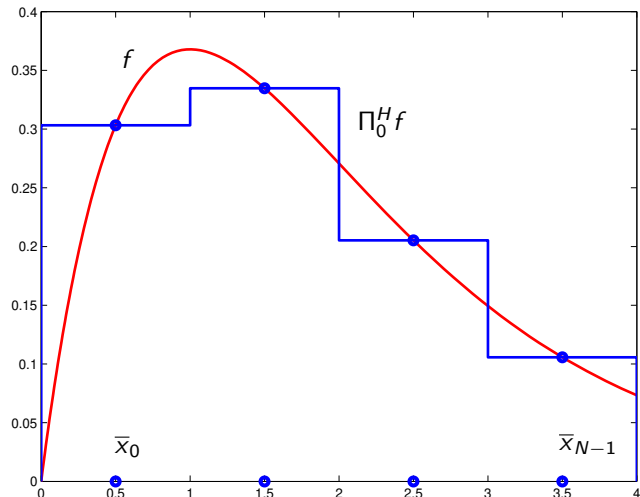
# FORMULE COMPOSITE DU POINT MILIEU

Cette formule est obtenue en remplaçant, sur chaque sous-intervalle  $I_k$ , la fonction  $f$  par un polynôme constant  $\Pi_0 f$  égal à la valeur de  $f$  au milieu de  $I_k$  (voir figure suivante) : on obtient la *formule composite du point milieu*

$$I_{pm}^c(f) = H \sum_{k=0}^{N-1} f(\bar{x}_k),$$

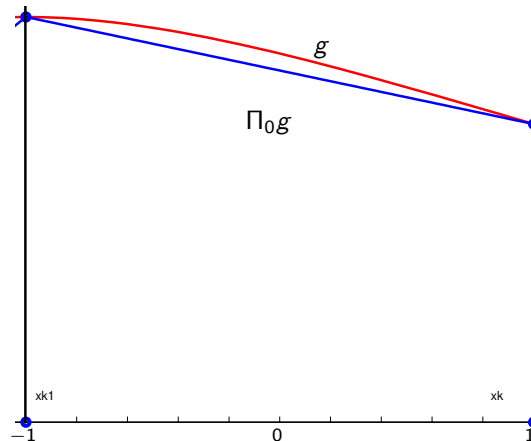
où

$$\bar{x}_k = \frac{x_k + x_{k+1}}{2} = a + kH + \frac{H}{2}.$$



## FORMULE DU TRAPÈZE

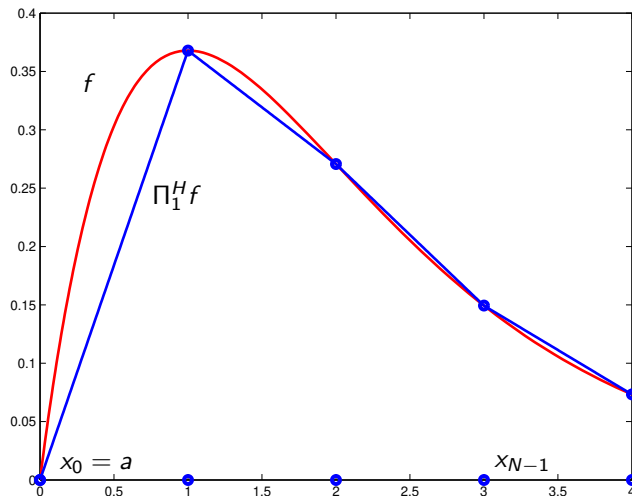
$$J^t(g) = 2 \frac{g(-1) + g(1)}{2}$$



# FORMULE COMPOSITE DU TRAPÈZE

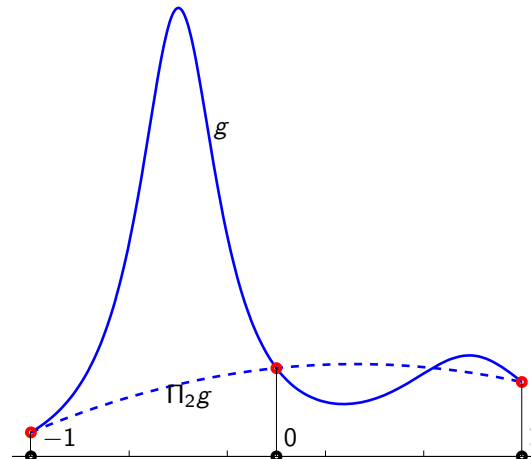
Si, sur chaque sous-intervalle  $I_k$ , on remplace  $f$  par le polynôme d'interpolation  $\Pi_1 f(x)$  de degré 1 aux nœuds  $x_k$  et  $x_{k+1}$ , on obtient la *formule composite du trapèze* :

$$I_t^c(f) = \frac{H}{2} \sum_{k=0}^{N-1} [f(x_k) + f(x_{k+1})] = \frac{H}{2} [f(a) + f(b)] + H \sum_{k=1}^{N-1} f(x_k).$$



## FORMULE DE SIMPSON

$$J^s(g) = \frac{H}{6} [g(-1) + 4g(0) + g(1)]$$



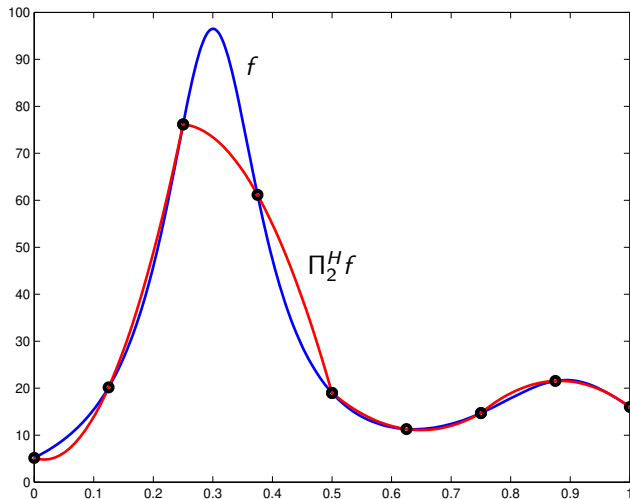
# FORMULE COMPOSITE DE SIMPSON

La formule de Simpson est obtenue en remplaçant  $f$  par son polynôme interpolant composite  $\Pi_2^H f(x)$  de degré 2. En particulier,  $\Pi_2^H f(x)$  est une fonction continue par morceaux qui, sur chaque sous-intervalle  $[x_k, x_{k+1}]$ , est obtenue comme le polynôme interpolant  $f$  aux nœuds

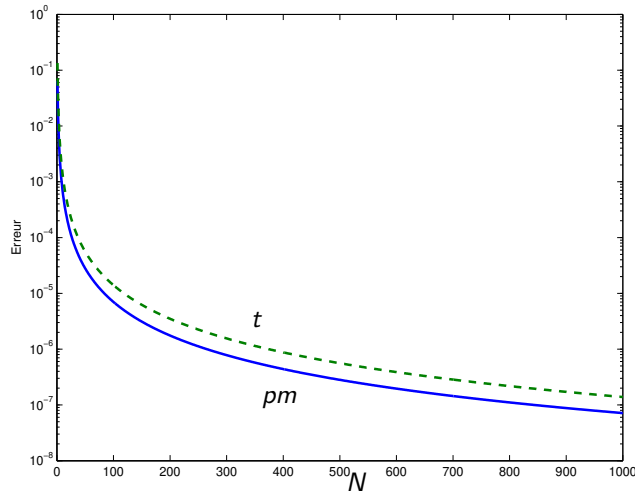
$$x_k, \bar{x}_k = \frac{x_k + x_{k+1}}{2} \text{ et } x_{k+1} \text{ (voir figure suivante).}$$

On obtient donc la *formule composite de Simpson* :

$$I_s^c(f) = \frac{H}{6} \sum_{k=0}^{N-1} [f(x_k) + 4f(\bar{x}_k) + f(x_{k+1})].$$



On considère  $I(f) = \int_0^1 f(x)dx$  où  $f(x) = \cos(x^2)$  : la figure suivante montre l'erreur d'intégration  $|I_{pm}^c(f) - I(f)|$  (formule composite du point milieu) et  $|I_t^c(f) - I(f)|$  , (formule composite du trapèze) en fonction du nombre de sous-intervalles  $N$ .



# ERREUR D'INTÉGRATION I

## THÉORÈME

Soit  $J$  une formule de quadrature exacte de degré  $r \geq 0$  et  $[a, b]$  un intervalle. Alors il existe une constante  $K > 0$  telle que pour tout  $N \in \mathbb{N}$  et toute  $f \in C^{r+1}([a, b])$  on a

$$\left| \int_a^b f(x)dx - L_H(f) \right| \leq K H^{r+1} \max_{x \in [a, b]} |f^{r+1}(x)| \quad \text{où } H = \frac{b-a}{N}.$$

## DÉFINITION

On dit qu'une telle formule de quadrature composite  $L_H$  est d'**ordre**  $d = n + 1$  (par rapport à la longueur  $H$  des sous-intervalles),

## DÉMONSTRATION.

(pas faite)



## ERREUR D'INTÉGRATION II

- Formule composite du point milieu. Si  $f$  est dans  $C^2([a, b])$ , alors

$$|I(f) - I_{pm}^c(f)| \leq \frac{b-a}{24} H^2 \max_{x \in [a,b]} |f''(x)| \Rightarrow \text{degré exact 1, ordre 2}$$

- Formule composite du trapèze. Si  $f$  est dans  $C^2([a, b])$ , alors

$$|I(f) - I_t^c(f)| \leq \frac{b-a}{12} H^2 \max_{x \in [a,b]} |f''(x)| \Rightarrow \text{degré exact 1, ordre 2}$$

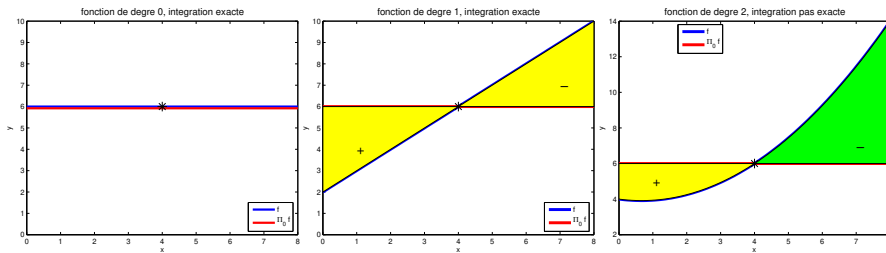
- Formule composite de Simpson. Si  $f$  est dans  $C^4([a, b])$ , alors

$$|I(f) - I_s^c(f)| \leq \frac{b-a}{180 \cdot 16} H^4 \max_{x \in [a,b]} |f''''(x)| \Rightarrow \text{degré exact 3, ordre 4}$$

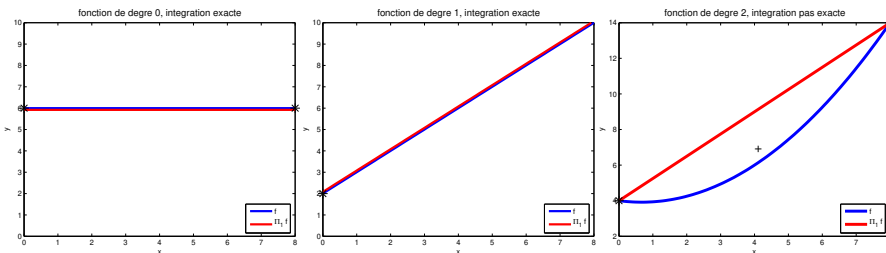




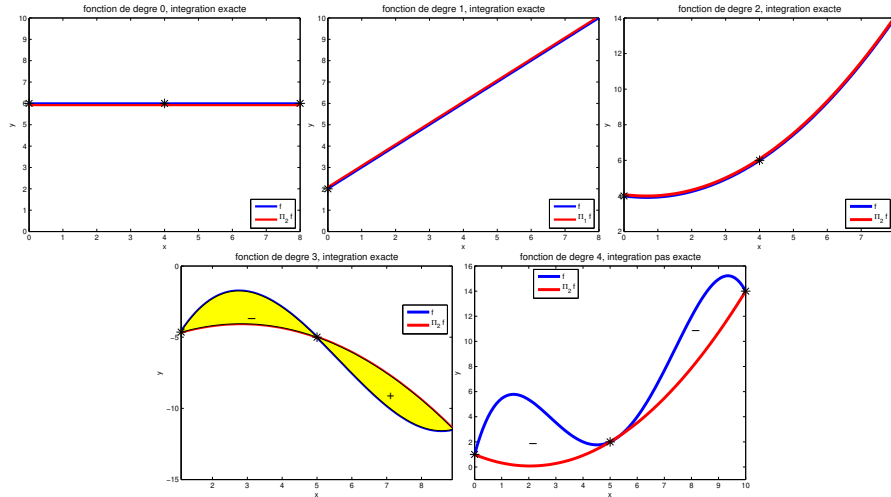
## Formule du point milieu



## Formule du trapèze



## Formule de Simpson



# FORMULES D'ORDRES ÉLEVÉS

Formules de quadrature de Gauss-Legendre.

Degré d'exactitude  $2M - 1$ , ordre par rapport à  $H : 2M$

$M$	$t_j$	$\omega_j$
2	$\{\pm 1/\sqrt{3}\}$	$\{1\}$
3	$\{\pm \sqrt{15}/5, 0\}$	$\{5/9, 8/9\}$
4	$\left\{ \pm (1/35) \sqrt{525 - 70\sqrt{30}}, \pm (1/35) \sqrt{525 + 70\sqrt{30}} \right\}$	$\{(1/36)(18 + \sqrt{30}), (1/36)(18 - \sqrt{30})\}$
5	$\left\{ 0, \pm (1/21) \sqrt{245 - 14\sqrt{70}}, \pm (1/21) \sqrt{245 + 14\sqrt{70}} \right\}$	$\{128/225, (1/900)(322 + 13\sqrt{70})\}$ $\{1/900)(322 - 13\sqrt{70})\}$

Formules de quadrature de Gauss-Legendre-Lobatto.

Degré d'exactitude  $2M - 3$ , ordre par rapport à  $H : 2M - 2$

$M$	$t_j$	$\omega_j$
2	$\{\pm 1\}$	$\{1\}$
3	$\{\pm 1, 0\}$	$\{1/3, 4/3\}$
4	$\{\pm 1, \pm \sqrt{5}/5\}$	$\{1/6, 5/6\}$
5	$\{\pm 1, \pm \sqrt{21}/7, 0\}$	$\{1/10, 49/90, 32/45\}$

[Quarteroni, Saleri, Gervasio, Scientific computing]